

**Практическое исследование цепочки  
Гейзенберга  $S=1/2$   
Часть III**

—

**Practical study of the Heisenberg chain  
 $S=1/2$   
Part III**

И.А.ЮХНОВСКИЙ

ноябрь 2020

**Аннотация**

Заключительная часть работы «Практическое исследование цепочки Гейзенберга  $S = 1/2$ » рассматривает вопросы запутанности для перехода от физического эксперимента к квантовым вычислениям. Рассматривается запутанность, индуцированная в частицах со спином  $1/2$  спиновой цепочкой в качестве теоретического обоснования актуальности проведения эксперимента по облучению одномерных магнетиков частицами ионизирующего излучения при нормальных условиях и сравнении результатов на цепочках ультра-холодных атомов.

**Abstract**

The final part of the work « Practical Investigation of the Heisenberg Chain  $S = 1/2$  » deals with entanglement issues for the transition from physical experiment to quantum computing. The entanglement induced in particles with a spin  $1/2$  by a spin chain is considered as a theoretical substantiation of the relevance of an experiment on irradiating one-dimensional magnets with ionizing radiation particles under normal conditions and comparing the results on chains of ultra-cold atoms

## Содержание

<b>1 Введение</b>	<b>2</b>
<b>2 Запутанность</b>	<b>2</b>
<b>3 Эксперимент Йи</b>	<b>2</b>
<b>4 Заключение</b>	<b>12</b>

## 1 Введение

В [1] в 2006 была установлена связь между запутанностью и критичностью спиновых цепочек на ультра-холодных атомах. Рассматривалась запутанность, которая разделяется между вспомогательными частицами, которые изолированы друг от друга, но связаны с одной и той же критической цепочкой со спином  $1/2$ . Была сделана аналитическая оценка приведённой матрицы плотности и численно показана запутанность вспомогательных частиц вблизи критических точек спиновой цепочки. Была обнаружена, что запутанность, вызванная спиновой цепочкой, может достигать 1, и это может очень хорошо сигнализировать о критических точках цепочки. Представлены физическое понимание и экспериментальная реализация с захваченными ионами. Цель данной работы рассмотреть механизм запутанности на одномерных спиновых цепочках и подготовить теоретическое обоснование квантового эксперимента по облучению частицами ионизирующего излучения

## 2 Запутанность

йй

## 3 Эксперимент Йи

Квантовая запутанность лежит в основе разницы между квантовым и классическим многочастичным миром и может рассматриваться как полезный ресурс в различных задачах, таких как:

- криптография,
- квантовые вычисления

- телепортация [2],

Квантовые фазовые переходы [?] - это переходы между квантовыми вычислениями. отдельные фазы квантовых систем многих тел, управляемые исключительно квантовыми флуктуациями. В последнее десятилетие были предприняты большие усилия, чтобы понять взаимосвязь между запутанностью и квантовыми фазовыми переходами [3–9]. На самом деле, естественно связывать квантовый фазовый переход и запутанность, если за ними стоят корреляции. Разделяя эту точку зрения, можно ожидать, что запутанность, вызванная квантовой критической системой многих тел, даст впечатляющую сигнатуру квантовых критических точек для системы многих тел.

С другой стороны, мы обычно думаем об окружающей среде, окружающей квантовую систему, как об источнике декогеренции. Недавно исследователи начали изучать положительные эффекты [11, 12, 13, 14, 15, 16, 17, 18] окружающей среды, например, обработку информации, обусловленную окружающей средой, и запутанность, вызываемую окружающей средой. Эти исследования открывают новый путь к разработке механизмов предотвращения, минимизации или использования воздействия окружающей среды при обработке квантовой информации. Однако в этих работах окружающая среда моделировалась как набор независимых квантовых систем, то есть корреляций между частицами в окружающей среде. игнорировались. Интересный открытый вопрос заключается в том, может ли корреляция между частицами окружающей среды влиять на запутанность, индуцированную в двух частичной системе, которая с ней соединяется.

В этой статье мы покажем, как использовать запутанность во вспомогательных частицах, индуцированную квантовой критической системой многих тел, в качестве важного инструмента для выявления квантовых явлений в квантовой системе многих тел. Действительно, квантовые фазовые переходы сопровождаются качественным изменением характера классических корреляций, такие резкие изменения свойств основных состояний часто связаны с коллективностью и/или случайностью межчастичных взаимодействий, которые, возможно, отражаются в запутанности между системами, которые с ними связаны. Здесь мы принимаем систему спиновых цепочек, описываемую одномерной моделью спина  $1/2XY$  как систему многих тел. Другая пара систем со спином  $1/2$ , которые связаны со спиновой цепочкой, будет действовать как вспомогательные частицы. Мы видим, что спутанность вспомогательных частиц резко меняется в зависимости от близости квантового фазового пере-

хода. Это изменение можно проследить до наличия коллективности в доминирующих связях вспомогательных частиц с цепочкой, а затем оно отражает критические свойства системы многих тел. Это наблюдение предлагает новый инструмент для изучения квантовых критических явлений, в частности, для более общих систем, для которых аналитические решения могут быть недоступны. Предлагается возможная реализация этой схемы с захваченными ионами. Он использует нерезонансные ионы, управляемые стоячими волнами, в ловушках [19, 20] для моделирования одномерной цепочки XY спина. Это предложение также могло быть реализовано с ультра-холодными атомами, наложенными на оптическую решётку [20]. Это делает исследование привлекательным для экспериментального тестирования.

Рассмотрим двудольную систему, состоящую из двух частиц со спином  $1/2$   $a$  и  $b$ , и квантовую систему многих тел, описываемую одномерной моделью со спином  $1/2$  XY. Системный гамильтониан  $H_S$  и гамильтониан  $H_B$  цепи имеют вид

$$H_S = \frac{\omega_a}{2}\sigma_a^Z + \frac{\omega_b}{2}\sigma_b^Z$$

$$H_B = -\sum_{l=1}^N \left( \frac{1+\gamma}{2}\sigma_l^x\sigma_{l+1}^x + \frac{1-\gamma}{2}\sigma_l^y\sigma_{l+1}^y + \frac{\lambda}{2}\sigma_l^z \right) \quad (1)$$

где  $N$  - число узлов,  $\sigma_i^\alpha$  ( $\alpha = x, y, z$ ) - матрицы Паули,  $\gamma$ - безразмерный параметр анизотропии. Для спиновой цепочки предполагается периодическое граничное условие  $\sigma_{N+1} = \sigma_1$ . Предположим, что связь вспомогательных частиц в цепочку принимает вид

$$H_l = \sum_{l=1}^N (g\sigma_a^z\sigma_l^z + h\sigma_b^z\sigma_l^z) \quad (2)$$

где  $g$  и  $h$  обозначают изменённые безразмерные константы связи. Ясно, что  $[H_S, H_l] = 0$ , что означает, что энергия вспомогательных частиц сохраняется, но когерентность может не сохраняться в зависимости от деталей связи системы и цепи. Это приводит к следующей форме оператора эволюции во времени  $U(t)$

$$U(t) = \sum_{i,j=0,1} U_{ij}(t) |ij\rangle \langle ij| \quad (3)$$

, где  $|ij\rangle = |i\rangle_a \otimes |j\rangle_b$  и  $|i\rangle_a$  ( $|i\rangle_b$ ,  $i = 0, 1$ ) представляет собственные состояния  $\sigma_a^z$  ( $\sigma_b^z$ ).

Легко показать что  $U_{ij}(t)(i, j = 0, 1)$  удовлетворяет:

$$i\hbar \frac{\partial}{\partial t} U_{ij}(t) = H_{ij} U_{ij}(t) \quad (4)$$

где:

$$H_{ij} = - \sum_{l=1}^N \left( \frac{1+\gamma}{2} \sigma_l^x \sigma_{l+1}^x + \frac{1-\gamma}{2} \sigma_l^y \sigma_{l+1}^y + \frac{\Lambda_{ij}}{2} \sigma_l^z \right)$$

где:

$$\Lambda_{ij} = \lambda + (-1)^{i+1} 2g + (-1)^{j+1} 2h, i, j = 0, 1$$

Если вспомогательные частицы изначально находятся в состоянии  $|ij\rangle$ , динамика и статистические свойства спиновой цепочки будут определяться величиной  $H_{ij}$ , которая принимает ту же форму что и  $H_B$  но с изменёнными значениями напряжённости поля  $\Lambda_{ij}$ . Гамильтониан  $H_{ij}$  должен быть диагонализирован по стандартной процедуре [22] следующим образом:

$$H_{ij} = \sum_k \omega_{ij,k} (\eta_{ij,k}^\dagger \eta_{ij,k} - \frac{1}{2})$$

,где  $\eta_{ij,k}(\eta_{ij,k}^\dagger)$  операторы аннигиляции фермионных мод с частотой:

$$\omega_{ij,k} = \sqrt{\epsilon_{ij,k}^2 + \gamma^2 \sin^2 \frac{2\pi k}{N}}$$

,где:

$$\epsilon_{ij,k} = \left( \cos \frac{2\pi k}{N} - \Lambda_{ij} \right), k = -\frac{N}{2}, -\frac{N}{2} + 1, \dots, \frac{N}{2} - 1$$

Фермионный оператор  $\eta_{ij,k}$ , к был определён преобразованием Боголюбова как:

$$\eta_{ij,k} = d_k \cos \frac{\Theta_{ij,k}}{2} - i d_{-k}^\dagger \sin \frac{\Theta_{ij,k}}{2}$$

,где:

$$d_k = \frac{1}{\sqrt{N}} \sum_l a_l e^{\frac{-i2\pi lk}{N}}$$

а угол смещения  $\Theta_{ij,k}$  был определён как

$$\cos\Theta_{ij,k} = \frac{\epsilon_{ij,k}}{\omega_{ij,k}}$$

Фермионные операторы  $a_l$  были связаны со спиновыми операторами преобразованием Жордана-Вигнера через

$$a_l = (\prod_{m<l} \sigma_m^z)(\sigma_l^x + i\sigma_l^y)/2$$

Операторы  $\eta_{ij,k}$ , параметризованные с помощью  $i$  и  $j$ , явно не коммутируют друг с другом, это приводит к запутыванию во вспомогательных частицах, как будет показано ниже. Прежде чем перейти к вычислению приведённой матрицы плотности, мы обсудим диагонализацию  $H_{ij}$ . Для цепочки с периодическим граничным условием, т.е.  $\sigma_1 = \sigma_N$ , граничные члены:

$$H_{bound} \sim [(a_N^\dagger a_1 + \gamma a_N a_1) + H.c.]e^{i\pi M} + 1$$

необходимо принять во внимание [22, 23]. В этой статье мы будем работать с игнорированием момента указанного в [22]  $M$  не является неизменным при преобразовании Боголюбова, однако его чётность или нечётность даёт ( $e^{i\pi M}$ , инвариантен):

Члены с  $e^{i\pi M} = -1$  дают нулевой вклад в  $\Gamma_{ij;mn}(t)$ , потому что в этом случае граничные члены исчезают.

При  $e^{i\pi M} = 1$  граничные члены изменяют порядок  $1/N$  в  $\cos(\Theta_{ij,k}/2)$  и  $\sin(\Theta_{ij,k}/2)$ . Поэтому они вносят поправки до порядка  $1/N$  в  $\Gamma_{ij;mn}(t)$ , которыми можно безопасно пренебречь в пределе  $N \rightarrow \infty$ . Интуитивно, при  $N \rightarrow \infty$  два случая открытой границы и циклической границы становятся одинаковыми, поэтому граничный эффект в этом смысле исчезнет.

Игнорируем потому, что мы заинтересованы в обнаружении связи между критичностью цепи и запутанностью во вспомогательных частицах.

Задав начальное состояние делимости продукта общей системы:

$$|\psi(0)\rangle = |\phi_a(0)\rangle \otimes |\phi_b(0)\rangle \otimes |\phi_B(0)\rangle$$

, мы можем получить приведённую матрицу плотности для вспомогательных частиц как

$$\rho_{ab}(t) = Tr_B[U(t)|\psi(0)\rangle\langle\psi(0)|U^\dagger(t)]$$

и его можно формально записать в виде:

$$\rho_{ab}(t) = \sum_{i,j,mn} \rho_{ij;mn}(t) |ij\rangle \langle mn|$$

Простой, но несколько утомительный расчёт показывает, что:

$$\rho_{ij;mn}(t) = \rho_{ij;mn}(t=0) \Gamma_{ij;mn}(t)$$

,где:

$$\begin{aligned} \Gamma_{ij;mn}(t) = & \prod_k e^{(i/2)(\omega_{ij,k} - \omega_{mn,k})t} [ \\ & 1 - (1 - e^{i\omega_{ij,k}t}) \sin^2 \frac{\Theta_k - \Theta_{ij,k}}{2} \\ & - (1 - e^{-i\omega_{mn,k}t}) \sin^2 \frac{\Theta_k - \Theta_{mn,k}}{2} \\ & + (1 - e^{i\omega_{ij,k}t})(1 - e^{i\omega_{mn,k}t}) \\ & \times (\sin \frac{\Theta_k - \Theta_{ij,k}}{2} \sin \frac{\Theta_k - \Theta_{mn,k}}{2} \cos \frac{\Theta_{ij,k} - \Theta_{mn,k}}{2}) ] \end{aligned} \quad (5)$$

,где:

$$\cos \Theta_k = \frac{\cos(2\pi k/N) - \lambda}{\sqrt{[\cos(2\pi k/N) - \lambda]^2 + \gamma^2 \sin^2(2\pi k/N)}}$$

Для получения этого результата предполагалось, что спиновая цепочка изначально находится в основном состоянии  $H_B$ . Обсуждения по формуле 5 в порядке.

Для  $g = h$ :  $\Lambda_{ij} = \lambda$  и  $j = 1$  или  $i = 1$  и  $j = 0$ .

Следовательно,  $|01\rangle$  и  $|10\rangle$  расширяют подпространство, свободное от декогеренции. Впоследствии запутанность состояний в этом подпространстве остаётся неизменной благодаря  $\Gamma_{ij;mn}(t) = 1$ . Ситуация меняется, если  $h \neq g$ , где свободное от некогерентности подпространство не существует. Запутанность, разделяемая между вспомогательными частицами, эволюционирует со временем в соответствии с уравнением 5 в этой ситуации.

Используя эти выражения, мы переходим к изучению запутанности, разделяемой между вспомогательными частицами и состоянием 3. Для конкретности в качестве начального состояния вспомогательных частиц выберем  $|\phi_a(0)\rangle \otimes |\phi_b(0)\rangle = 1/\sqrt{2}(|0\rangle_a + |1\rangle_a) \otimes 1/\sqrt{2}(|0\rangle_b + |1\rangle_b)$ , а спиновая цепочка предполагается находящейся в основном состоянии гамильтониана  $H_B$ . Запутанность, измеренная Wootters, может быть рассчитана, и численный результат показан на рисунках 1–4. Масштаб  $t$  был

изменён на безразмерный в соответствии с константами связи. Области критичности возникают при вырождении основного и первого возбуждённых состояний. Сначала мы сосредоточимся на критичности модели ХХ. Модель ХХ, соответствующая  $\gamma = 0$ , имеет область критичности вдоль линии между  $\lambda = 1$  и  $\lambda = -1$ . Критичность отражается в запутывании вспомогательных частиц, которые показаны на рис. 1 и 2. На рис. 1 показано совпадение с Wootters как функция времени и параметра анизотропии  $\gamma$ , видно, что совпадение Wootters имеет резкое изменение предела  $\gamma \rightarrow 0$ . Этот результат можно понять, рассматривая значения  $\Theta_{ij,k}$ , которые принимают 0 или  $\pi$  в зависимости от знака  $\cos(2\pi k/N) - \Lambda_{ij}$  в этом пределе.

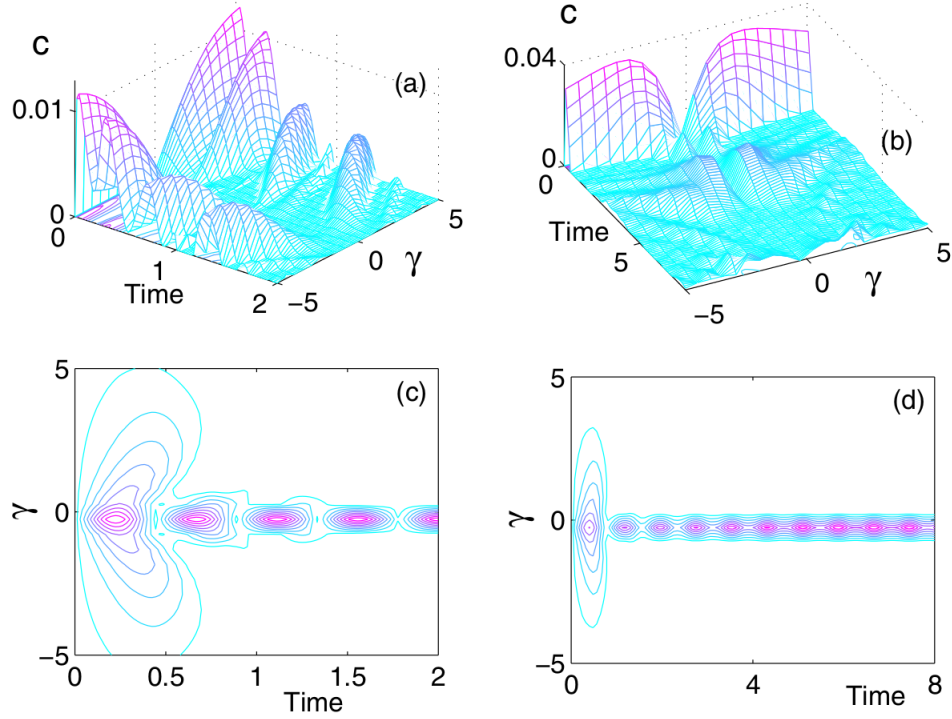


Рис. 1: Совпадение вспомогательных пар частиц как функция времени и параметров анизотропии [1]

В любом случае  $|\Gamma_{ij;mn}(t)| = 1$ , что указывает на то, что норма любого элемента приведённой матрицы плотности остаётся неизменной. На рис. 2 показано запутывание вспомогательных частиц вблизи области



критичности с  $\gamma = 0$  и  $\lambda = \pm 1$ . Запутанность резко меняется по линии  $\lambda = \pm 1$  на временной плоскости. Это отражение критических явлений при запутывании вспомогательных частиц.

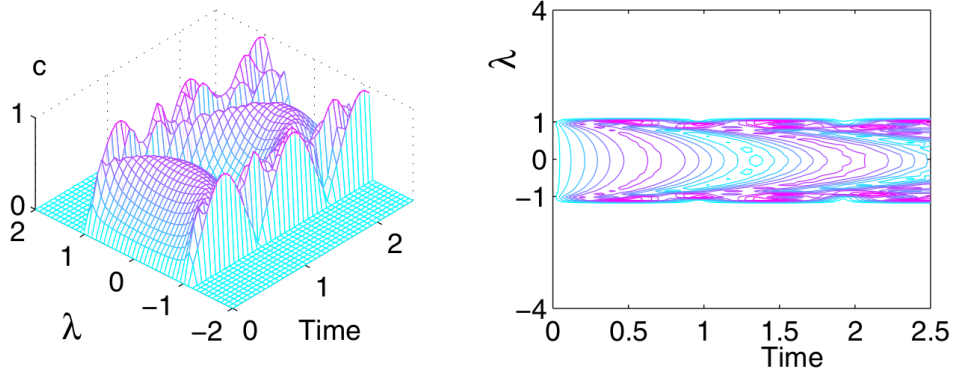


Рис. 2: Согласованность Wootters против времени и  $\lambda$  при фиксированном  $\gamma = 10^{-4}$  [1]

Теперь мы переходим к изучению критичности в поперечной модели Изинга. Структура основного состояния поперечной модели кардинально меняется при изменении параметра. Зависимость запутанности от  $\lambda$  довольно сложна [3]. Здесь мы представляем анализ для пределов  $\lambda \rightarrow \infty$ ,  $\lambda = 1$  и  $\lambda = 0$ . В  $\lambda \rightarrow \infty$  пределе основное состояние цепи приближается к произведению спинов, указывающих в положительном направлении  $z$ . В этом пределе угол смешивания  $\Theta_{ij,k}$  и  $\Theta_k$  стремится к  $-\pi$ . Это приводит к  $\Gamma_{ij;mn}(t) = 1$ , что указывает на то, что начальное состояние не эволюционирует со временем, т.е. вспомогательные частицы остаются неразделимыми состояниями. Предел  $\lambda = 0$  принципиально отличается от  $\lambda \rightarrow \infty$  предела, поскольку соответствующее основное состояние дважды вырождается при глобальном перевороте спина на  $\prod_{l=1}^N \sigma_l^z$ . Эта симметрия нарушается при  $|\lambda| = 1$  и цепочка приобретает ненулевую намагниченность  $\langle \sigma^x \rangle \neq 0$  который растёт по мере уменьшения. Это резкое изменение основного состояния спиновой цепи можно найти в запутывании вспомогательных частиц на рис. 3.

На самом деле, основное состояние ХУ-моделей очень сложно с множеством различных режимов поведения [24, 25]. Как бы то ни было, наблюдается резкое изменение запутанности по линии  $|\lambda| = 1$  Рис.4. Это сигнализирует об изменении основного состояния спиновой цепочки с парамагнитной фазы на другие. Хотя запутанность в обоих случаях с

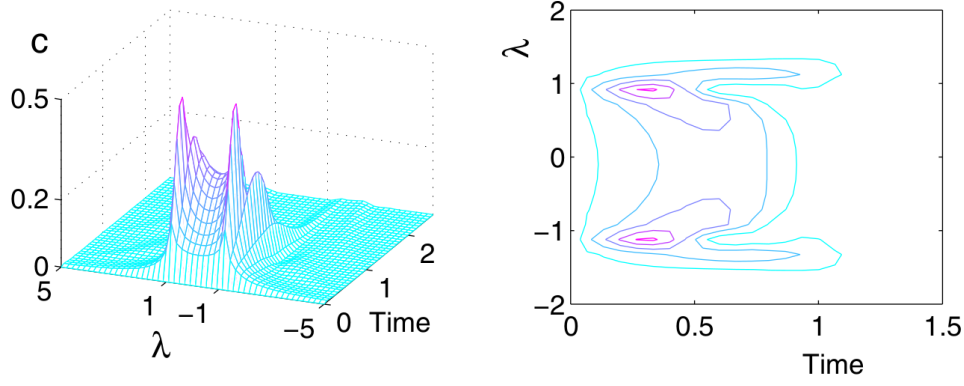


Рис. 3: Запутанность индуцированная поперечной изинговой цепочкой  $S=1/2$ , которую можно получить из модели XY, положив  $\gamma = 1$  [1]

$\gamma = 0$  и  $\gamma = 1$  имеет одни и те же свойства вдоль линии  $|\lambda| = 1$ , т.е. резко меняется в этой критической области. Две вспомогательные частицы никогда не эволюционируют в случае  $\gamma = 0$ , в то время как две в конечном итоге эволюционируют в состояния указателя в другом случае, кроме  $\lambda \rightarrow \infty$ , следовательно, нет запутанности между вспомогательными частицами в более позднем случае при  $t \rightarrow \infty$  и  $N \rightarrow \infty$ .

Связь между запутанностью во вспомогательных частицах и критичностью спиновой цепочки можно понимать как сингулярность в одном или нескольких  $\rho_{ij;mn}(t)$  элементах приведённой матрицы плотности в критических точках. Чтобы показать это, напомним, что

$$\rho_{ij;mn}(t) = \frac{1}{4} \langle \phi_B(0) | e^{-iH_{ij}t} e^{-iH_{kl}t} | \phi_B(0) \rangle \quad (6)$$

с теми же обозначениями и начальными состояниями, данными перед уравнением 3. Обратите внимание, что  $|\phi_B(0)\rangle$  было взято в качестве основного состояния  $|0\rangle_{H_B}$ , но оно не является собственным состоянием  $H_{ij}$  с  $\Lambda_{ij} \neq \lambda$ . Разложив  $|0\rangle_B$  по собственному состоянию  $|\alpha\rangle_B^{ij}$   $H_{ij}$ ,  $\alpha = 0, 1, \dots$ ,)

$$|0\rangle_B = c_0^{ij} |0\rangle_B^{ij} + \sum_{\alpha \neq 0} c_\alpha^{ij} |\alpha\rangle_B^{ij} \quad (7)$$

легко доказать, что  $|c_{\alpha \neq 0}^{ij}| \sim h, g$  где  $g \ll 1$  и  $h \ll 1$ . Это именно тот случай, который мы рассматриваем, где  $|0\rangle_B^{ij}$  обозначает основное состояние  $H_{ij}$ . Следовательно

$$\rho_{ij;mn}(t) \sim \frac{1}{4} c_0^{ij} [c_0^{kl}]^*_{B} \langle 0|0 \rangle_B^{ij} e^{-i(\Omega_{ij}-\Omega_{kl})t} \quad (8)$$

до первого порядка  $g$  и  $h$ . Здесь  $\Omega_{ij}$  обозначает энергию основного состояния  $H_{ij}$ . Как наблюдалось в [26], внезапное падение в  $\langle 0|0 \rangle_B^{ij}$  может сигнализировать об областях критичности в спиновой цепочке. Следовательно, запутанность как функция  $\rho_{ij;mn}(t)$  может сигнализировать о критичности цепи.

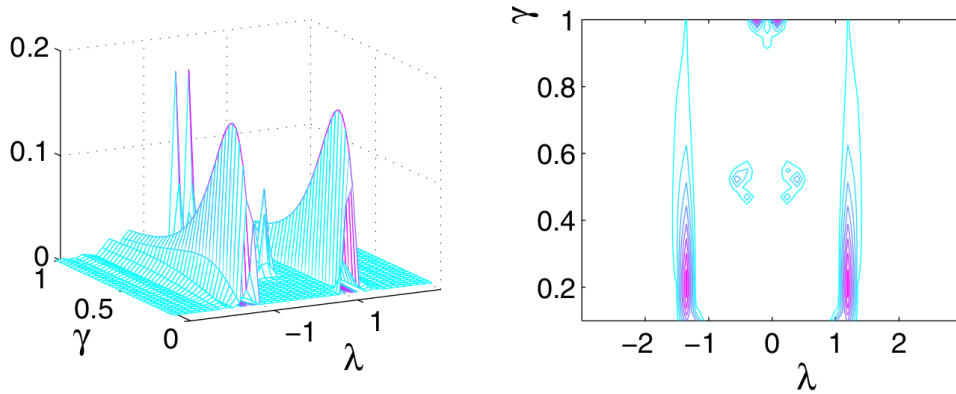


Рис. 4: Согласованность Wootters в момент времени  $t = 0,75$ . Положения пиков на оси не меняются со временем [1]

Это обсуждение, помимо теоретических интересов, предлагает возможный экспериментальный метод изучения критических явлений без необходимости определения состояния системы, в частности, при наличии вырождения. Модель ХУ может быть реализована с захваченными ионами под действием нерезонансных волн 19 следующим образом. Рассмотрим систему ловушек, физическая реализация которой соответствует кулоновским цепочкам в ловушках Пеннинга или массиву ионных микроловушек. Кулоновское отталкивание вместе с захваченным потенциалом и движением ионов дает набор коллективных мод колебаний, эти коллективные моды могут быть связаны с внутренними состояниями ионов условными силами. Направления условных сил [20] будут определять эффективные связи между эффективными спинами. Чтобы смоделировать модель ХУ, мы применим две условные силы в обоих направлениях  $x$  и  $y$ . Эффективное взаимодействие пропорционально  $1/r^3$ , где  $r$  представляет собой относительное расстояние между ионами. Хотя соединения зависят от расстояния, показано, что критические свой-

ства аналогичны идеальным моделям [20, 27], рассмотренным в этой статье. Связь вспомогательных частиц с цепочкой, которые разделяют другой захват с ионами в цепочке, может быть смоделирована таким же образом, где прикладывается условная сила в одном направлении. Частицы в цепи могут окружать вспомогательные частицы, так что связи вспомогательных частиц с частицами в цепи равны. Это предложение также может быть реализовано с ультра-холодными атомами в оптической решётке методом, представленным в [28]. Мы хотели бы отметить, что предотвращение любого обмена энергией между цепочкой и вспомогательными частицами может быть сложной задачей в экспериментах. Требование равномерного сцепления также очень сложно экспериментально. Тем не менее, в этой статье установлена связь между запутанностью и критичностью с другой стороны, что может пролить свет на понимание критичности со стороны вспомогательных частиц, и может открыть способ охарактеризовать и экспериментально обнаружить квантовый фазовый переход с точки зрения теории квантовой информации [29], где рассматриваются две вспомогательные функции, связанные с двумя частицами на разных участках цепи. С помощью этой модели была установлена связь между качеством передачи состояния и спектральным зазором цепи.

## 4 Заключение

Предложенный в [2] метод изучения критических явлений в системах многих тел интересно проверить при других условиях. Было обнаружено, что критичность отражается в запутанности сопряжённых с цепочкой вспомогательных частиц и резко меняется вдоль линии критических точек. Это резкое изменение было объяснено с точки зрения отражения квантовых фазовых переходов, которые приводят к коллективности связей спиновой цепочки с вспомогательными частицами. Также в [30] был сделан вывод, что квантовая критическая система многих тел также может отражать свою критичность в декогеренции квантовой системы, которая с ней взаимодействует - этот факт также интересно проверить при далёких от абсолютного 0 температурах. Проведение этих экспериментов с частицами ионизирующего излучения прольёт свет на роль окружающей среды в обработке квантовой информации, откроют путь для изучения критических явлений в системах многих тел, а также дадут старт практическому созданию квантового компьютера на источниках ионизирующего излучения. Получение и обобщение этих результатов на

широкий круг материалов и источников излучения - многообещающий и сложный вопрос, который заслуживает обширного исследования.

## Список литературы

- [1] Yi, X. X., Cui, H. T., & Wang, L. C. (2006). Entanglement induced in spin-1/2 particles by a spin chain near its critical points. Physical Review A, 74(5). doi: [10.1103/physreva.74.054102](https://doi.org/10.1103/physreva.74.054102)
- [2] M.A.Nielsen and I.L.Chuang, Quantum Computation and Quantum Information Cambridge University Press, Cambridge, 2000.
- [3] S. Sachdev, Quantum Phase Transition Cambridge University Press, Cambridge, 1999.
- [4] T. J. Osborne and M. A. Nielsen, Phys. Rev. A 66, 032110 – 2002.
- [5] G. Vidal, J. I. Latorre, E. Rico, and A. Kitaev, Phys. Rev. Lett. 90, 227902 – 2003.
- [6] A. Osterloh, L. Amico, G. Falci, R. Fazio, Nature London 416, 608 – 2002.
- [7] L. A. Wu, M. S. Sarandy, and D. A. Lidar, Phys. Rev. Lett. 93, 250404 – 2004.
- [8] Y. Chen, P. Zanardi, Z. D. Wang, and F. C. Zhang, New J. Phys. 8, 97 – 2006; Y. Chen, Z. D. Wang, and F. C. Zhang, Phys. Rev. B 73, 224414 – 2006.
- [9] S. J. Gu, S. S. Deng, Y. Q. Li, and H. Q. Lin, Phys. Rev. Lett. 93, 086402 – 2004.
- [10] F. Verstraete, M. Popp, and J. I. Cirac, Phys. Rev. Lett. 92, 027901 – 2004.
- [11] M. B. Plenio, S. F. Huelga, A. Beige, and P. L. Knight, Phys. Rev. A 59, 2468 – 1999; M. B. Plenio and S. F. Huelga, Phys. Rev. Lett. 88, 197901, 2002.
- [12] S. Bose, P. L. Knight, M. B. Plenio, and V. Vedral, Phys. Rev. Lett. 83, 5158 – 1999.

- [13] A. Beige, S. Bose, D. Braun, S. F. Huelga, P. L. Knight, M. B. Plenio, and V. Vedral, *J. Mod. Opt.* **47**, 2583 – 2000.
- [14] P. Horodecki, *Phys. Rev. A* **63**, 022108 – 2001.
- [15] D. Braun, *Phys. Rev. Lett.* **89**, 277901 – 2002.
- [16] X. X. Yi, C. S. Yu, L. Zhou, and H. S. Song, *Phys. Rev. A* **68**, 052304 – 2003.
- [17] F. Benatti, R. Floreanini, and M. Piani, *Phys. Rev. Lett.* **91**, 070402 – 2003.
- [18] S. Shresta, C. Anastopoulos, A. Dragulescu, and B. L. Hu, *Phys. Rev. A* **71**, 022109 – 2005.
- [19] L. M. Duan, E. Demler, and M. D. Lukin, *Phys. Rev. Lett.* **91**, 090402 – 2003.
- [20] D. Porras and J. I. Cirac, *Phys. Rev. Lett.* **92**, 207901 – 2004; X. L. Deng, D. Porras, and J. I. Cirac, *Phys. Rev. A* **72**, 063407 – 2005.
- [21] J. K. Pachos and M. B. Plenio, *Phys. Rev. Lett.* **93**, 056402 – 2004.
- [22] E. Lieb, T. Schultz, and D. Mattis, *Ann. Phys.* **16**, 407 – 1961.
- [23] S. Katsura, *Phys. Rev.* **127**, 1508 – 1962.
- [24] E. Barouch and B. M. McCoy, *Phys. Rev. A* **2**, 1075 – 1970; **3**, 786 – 1971.
- [25] M. F. Yang, *Phys. Rev. A* **71**, 030302R – 2005.
- [26] P. Zanardi and N. Paunkovic, *Phys. Rev. E* **74**, 031123 – 2006.
- [27] A. Dutta and J. K. Bhattacharjee, *Phys. Rev. B* **64**, 184106 – 2001.
- [28] Angelo C. M. Carollo and Jiannis K. Pachos, *Phys. Rev. Lett.* **95**, 157203 – 2005.
- [29] M. J. Hartmann, M. E. Reuters, and M. B. Plenio, *New J. Phys.* **8**, 94 – 2006.
- [30] H. T. Quan, Z. Song, X. F. Liu, P. Zanardi, and C. P. Sun, *Phys. Rev. Lett.* **96**, 140604 – 2006.